



# Schiocchetto

D'Onofrio C., Fausto C., Ducci E., Matarese F., Bellaccini L., Pugliesi R., Fiorani F., Poli I., 2015. Schiocchetto. In: Italian Vitis Database, www.vitisdb.it, ISSN 2282-006X

release 30/05/2015, ultimo aggiorn. 04/08/2015 url <http://vitisdb.it/varieties/show/1125>

## Informazioni generali gestite da

Dipartimento di Scienze Agrarie, Alimentari e Agro-ambientali (DiSAAA-a) - Università di Pisa

## Ringraziamenti

Agricola San Felice (Lucca); Unione Comuni di Garfagnana (Lucca); Fondazione AGER (AGER Foundation)

## Informazioni botaniche

**nome** Schiocchetto  
**tipo di origine** spontanea  
**specie** Vitis vinifera  
**gruppo di varietà** non disponibile  
**trueness to type** accertato con rilievi morfologici (ampelografici)  
**codice** IVD-var\_205

**genere** Vitis  
**sottospecie** sativa  
**vitigno da** vino

## True-name

confermato **si**

## Bibliografia correlata (1)

autori	anno	titolo	rivista	citazione
Basso M.,	1992	Contributo alla conoscenza del patrimonio genetico-viticoło toscano. Province di Pisa, Lucca e Massa Carrara.		Proceedings of "Germoplasma frutticolo, salvaguardia e valorizzazione delle risorse genetiche" meeting, Alghero (Italy), 21-25 September 1992, 505-512.

## Registrazione

iscritto al Registro Nazionale delle Varietà di Viti **no**

## Sinonimi

nessun sinonimo disponibile per Schiocchetto

## Accessione principale

**accessione principale** Schiocchetto n (Vitiarium)  
**componente che l'ha inserita** Dipartimento di Scienze Agrarie, Alimentari e Agro-ambientali (DiSAAA-a) - Università di Pisa

## Accessioni standardizzate (2)

- Schiocchetto n (Garf) - Dipartimento di Scienze Agrarie, Alimentari e Agro-ambientali (DiSAAA-a) - Università di Pisa
- Schiocchetto n (Vitiarium) - Dipartimento di Scienze Agrarie, Alimentari e Agro-ambientali (DiSAAA-a) - Università di Pisa

## Tutte le accessioni (2)

- Schiocchetto n (Garf) - Dipartimento di Scienze Agrarie, Alimentari e Agro-ambientali (DiSAAA-a) - Università di Pisa
- Schiocchetto n (Vitiarium) - Dipartimento di Scienze Agrarie, Alimentari e Agro-ambientali (DiSAAA-a) - Università di Pisa

## Cloni omologati

Nessun clone disponibile per

## Profilo microsatellite standardizzato

loci:	loci predefiniti ( 9 )																	
locus SSR:	VVS2		VVMD5		VVMD7		VVMD27		VrZAG62		VrZAG79		VVMD25		VVMD28		VVMD32	
allele:	A1	A2	A1	A2	A1	A2	A1	A2	A1	A2	A1	A2	A1	A2	A1	A2	A1	A2
dimensione:	133	157	225	231	253	257	189	193	192	194	239	249	240	242	237	239	253	273

Vi sono altri loci consultabili online

## Immagini



germoglio



germoglio pagina superiore



germoglio pagina inferiore



foglia



foglia pagina superiore



foglia pagina inferiore



seno peziolare



grappolo



acino



vinacciolo

## Riferimenti storici

Lo 'Schioccoletto' è stato precedentemente descritto da Basso (1992) che l'ha identificato in Garfagnana (Lucca) e introdotto nella collezione 'Vitarium' dell'Agricola San felice (Siena). Recentemente è stato nuovamente censito in Garfagnana, confermando la sua presenza ancora attuale in quest'area (D'Onofrio et al., 2015).

## Diffusione & variabilità

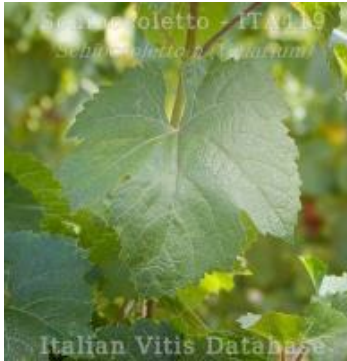


E' stato identificato in 'Garfagnana' ma non si esclude che possa essere presente in altre zone, anche se, considerando che il termine fa riferimento alla durezza della buccia e croccantezza della polpa, è possibile che vi possano essere degli omonimi. Le analisi del profilo microsatellite hanno evidenziato che al momento non corrisponde a nessuno dei genotipi presenti nei vari database viticoli e non corrisponde, come talvolta riportato, allo Schioppettino iscritto al registro Nazionale delle Varietà di Viti (D'Onofrio et al., 2015). Inoltre, la sua relazione di primo grado con la 'Barbarossa toscana', supporterebbe l'origine Toscana di questo vitigno.

## Utilizzazione tecnologica

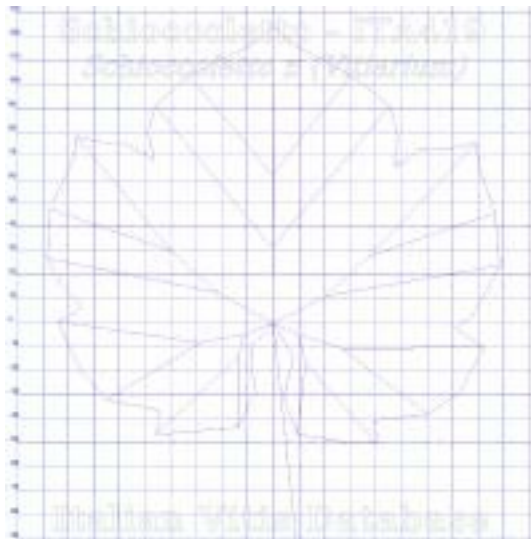
L'uva matura lentamente, raggiungendo un buon grado zuccherino e preservando un aroma delicato. Generalmente matura entro la fine di settembre e fornisce dei vini strutturati e interessanti.

## Ampelografia

OIV	descrizione	valore		immagini
001	Giovane germoglio: apertura dell'apice	5	completamente aperto	
003	Giovane germoglio: intensità della pigmentazione antocianica dei peli striscianti dell'apice	3	bassa	
004	Giovane germoglio: densità dei peli striscianti dell'apice	7	elevata	
006	Germoglio: portamento (prima della legatura)	1 / 3	eretto / semi-eretto	
007	Germoglio: colore del lato dorsale degli internodi	2	verde e rosso	
008	Germoglio: colore del lato ventrale degli internodi	1	verde	
016	Germoglio: numero di viticci consecutivi	1	2 o meno	
051	Foglia giovane: colore della pagina superiore del lembo (4 a foglia)	2	giallo	
053	Foglia giovane: densità peli striscianti tra le nervature principali della pagina inferiore (4a foglia)	7	elevata	

067	Foglia adulta: forma del lembo	4	orbicolare	
068	Foglia adulta: numero dei lobi	2 / 3	tre / cinque	
070	Foglia adulta: distribuzione pigmentazione antocianica nervature principali pagina superiore	4	fino alla 2a biforcazione	
072	Foglia adulta: depressioni del lembo	3 / 5	deboli / medie	
074	Foglia adulta: profilo del lembo in sezione trasversale	1	piano	
075	Foglia adulta: bollosità della pagina superiore del lembo	3 / 5	bassa / media	
076	Foglia adulta: forma dei denti	2 / 3	entrambi i lati rettilinei / entrambi i lati convessi	
079	Foglia adulta: grado di apertura / sovrapposizione dei bordi del seno peziolare	3	aperto	
080	Foglia adulta: forma della base del seno peziolare	3	a V	
081-1	Foglia adulta: denti del seno peziolare	1	assenti	
081-2	Foglia adulta: base del seno peziolare delimitata dalla nervatura	1	non delimitata	
083-2	Foglia adulta: denti nei seni laterali superiori	1	assenti	
084	Foglia adulta: densità dei peli striscianti tra le nervature principali sulla pagina inferiore del lembo	3 / 5	bassa / media	
087	Foglia adulta: densità dei peli eretti sulle nervature principali della pagina inferiore del lembo	1	nulla o molto bassa	
094	Foglia adulta: profondità dei seni laterali superiori	5	medio	
151	Fiore: organi sessuali	3	stami completamente sviluppati e gineceo completamente sviluppato	
152	Infiorescenza: livello d'inserzione della 1 a infiorescenza	2	3° e 4° nodo	
155	Tralcio: fertilità delle gemme basali (gemme 1-3)	3 / 5	bassa (0,7-0,9) / media (1,1-1,3)	
202	Grappolo: lunghezza (escluso il peduncolo)	3 / 5	corto / medio	
204	Grappolo: compattezza	3 / 5	spargolo / medio	
206	Grappolo: lunghezza del peduncolo del grappolo principale	1	molto corto	
208	Grappolo: forma	2	conico	
209	Grappolo: numero di ali del grappolo principale	2	1 - 2 ali	
220	Acino: lunghezza	3 / 5	corto / medio	
221	Acino: larghezza	3 / 5	stretto / medio	
223	Acino: forma	2	sferoidale	
225	Acino: colore della buccia	6	blu nero	
231	Acino: intensità della pigmentazione antocianica della polpa	3	debole	
235	Acino: consistenza della polpa	1	molle	
236	Acino: particolarità dell'aroma	1	nessuna	
241	Acino: sviluppo dei vinaccioli	3	completo	

## Ampelometria



foglia ampelometrica

OIV

OIV	PDF	descrizione	valore	
601	PDF	Foglia adulta: lunghezza della nervatura N1	5	media (135 mm)
602	PDF	Foglia adulta: lunghezza della nervatura N2	5	media (105 mm)
603	PDF	Foglia adulta: lunghezza della nervatura N3	5	media (75 mm)
604	PDF	Foglia adulta: lunghezza della nervatura N4	9	molto lunga (55 mm e oltre)
605	PDF	Foglia adulta: distanza dal seno peziolare al seno laterale superiore	7	lunga (90 mm)
606	PDF	Foglia adulta: distanza dal seno peziolare al seno laterale inferiore	7	lunga (75 mm)
607	PDF	Foglia adulta: angolo tra N1 e N2 misurato alla prima biforcazione	7	grande (56°-70°)
608	PDF	Foglia adulta: angolo tra N2 e N3 misurato alla prima biforcazione	5	medio (46°-55°)
609	PDF	Foglia adulta: angolo tra N3 e N4 misurato alla prima biforcazione	7	grande (56°-70°)
610	PDF	Foglia adulta: angolo tra N3 e la tangente tra il punto peziolare e l'estremità N5	9	molto grande (> 70°)
612	PDF	Foglia adulta: lunghezza del dente di N2	1	molto corto (6 mm)
613	PDF	Foglia adulta: larghezza del dente di N2	5	medio (14 mm)
614	PDF	Foglia adulta: lunghezza del dente di N4	1	molto corto (6 mm)
615	PDF	Foglia adulta: larghezza del dente di N4	5	medio (14 mm)
617	PDF	Foglia adulta: distanza tra l'estremità di N2 e l'estremità della prima nervatura secondaria di N2	5	media (46-55 mm)

## Superampelo

distanze		
descrittore	valore	deviazione standard
Distanza dal seno peziolare al seno inferiore sinistro	75.500	7.100
Distanza dal seno peziolare al seno superiore sinistro	82.500	10.900
Distanza dal seno peziolare al seno inferiore destro	72.000	7.300
Nervatura N3', lunghezza dal seno peziolare alla nervatura N4'	12.700	2.000
Distanza dal seno peziolare al seno superiore destro	81.200	9.700
Lunghezza della nervatura N5'	29.900	5.200
Nervatura N3, lunghezza dal seno peziolare alla nervatura N4	11.200	2.400
Lunghezza della nervatura N4'	54.400	5.000
Lunghezza della nervatura N5	30.600	4.600
Distanza tra punto peziolare ed estremità della nervatura N4'	65.700	5.400
Lunghezza della nervatura N4	55.600	4.400
Lunghezza della foglia	176.800	13.100
Distanza tra punto peziolare ed estremità della nervatura N4	65.400	6.000
Lunghezza della foglia compreso il picciolo	215.500	18.300
Larghezza della foglia	170.000	12.000
Lunghezza della nervatura N1	123.900	7.700
Lunghezza del picciolo	91.600	12.100
Distanza tra gli estremi delle nervature N3 e N3'	167.300	12.300
Distanza tra gli estremi delle nervature N2 e N2'	156.800	16.800
Larghezza del seno peziolare / Distanza tra i punti SP e SP'	-14.000	8.400
Distanza tra gli estremi delle nervature N4 e N4'	86.700	14.100
Lunghezza della nervatura N2'	110.100	8.600
Lunghezza della nervatura N2	109.800	10.400
Lunghezza della nervatura N3'	84.600	7.700
Lunghezza della nervatura N3	83.700	8.100
Distanza tra estremità di N2' e estremità della prima ramificazione laterale di N2'	51.300	9.200
Distanza tra estremità di N2 e estremità della prima ramificazione laterale di N2	56.800	13.200

angoli		
descrittore	valore	deviazione standard
Angolo tra N1 e N2' misurato alla prima biforcazione	59.300	3.800
Angolo tra N1 e N2 misurato alla prima biforcazione	61.600	6.800
Angolo tra N2' e N3' misurato alla prima biforcazione	52.300	5.800
Angolo tra N2 e N3 misurato alla prima biforcazione	54.500	6.100
Angolo tra N3' e N4'	66.300	5.600
Angolo tra N3 e N4 alla prima biforcazione di N3	59.100	6.100
Angolo tra N1 e N2' misurato agli estremi delle nervature	44.700	5.100
Angolo tra N1 e N2 misurato agli estremi delle nervature	46.400	6.300
Angolo tra N2' e N3' misurato agli estremi delle nervature	45.100	4.900
Angolo tra N2 e N3 misurato agli estremi delle nervature	50.400	4.300
Angolo tra N3' e N4' misurato agli estremi delle nervature	45.900	5.400
Angolo tra N3 e N4 misurato agli estremi delle nervature	44.200	3.800
Angolo tra D e D' con centro in N1	108.100	6.600
Angolo di apertura del seno peziolare misurato a SP e SP'	21.500	16.500
Angolo tra I e I' con centro in N1	62.200	3.700
Angolo tra S e S' con centro in N1	79.200	11.500
Angolo tra N3' e la tangente tra il punto peziolare e l'estremità N5'	73.200	6.600
Angolo tra N3 e la tangente tra il punto peziolare e l'estremità N5	71.800	6.800

rapporti		
descrittore	valore	deviazione standard
Media dell'altezza dei denti del lato sinistro	6.497	0.000
Media della base dei denti del lato sinistro	6.786	0.000
Media dell'altezza dei denti del lato destro	8.498	0.000
Media della base dei denti del lato destro	6.518	0.000
Rapporto tra l'altezza e la base del dente all'estremità della nervatura N4	0.559	0.129
Rapporto tra l'altezza e la base del dente all'estremità della nervatura N4'	0.627	0.095
Rapporto tra l'altezza e la base del dente all'estremità della nervatura N2	0.553	0.081
Rapporto tra l'altezza e la base del dente all'estremità della nervatura N2'	0.590	0.089
Rapporto tra l'altezza e la base dei denti del lato destro	1.304	0.000
Rapporto tra l'altezza e la base dei denti del lato sinistro	0.957	0.000
Rapporto tra la somma degli angoli a + b e la somma della distanza tra il seno peziolare e il seno superiore destro OS e il seno peziolare e il seno inferiore destro OI	0.013	0.002
Rapporto tra la somma degli angoli a' + b' e la somma della distanza tra il seno peziolare e il seno superiore sinistro OS' e il seno peziolare e il seno inferiore sinistro OI'	0.012	0.002
Rapporto tra la lunghezza della nervatura N5 e la lunghezza della nervatura N1	0.246	0.027
Rapporto tra la lunghezza della nervatura N5' e la lunghezza della nervatura N1	0.242	0.039
Rapporto tra la lunghezza della nervatura N4 e la lunghezza della nervatura N1	0.449	0.027
Rapporto tra la lunghezza della nervatura N4' e la lunghezza della nervatura N1	0.440	0.037
Rapporto tra la lunghezza della nervatura N3 e la lunghezza della nervatura N1	0.675	0.041
Rapporto tra la lunghezza della nervatura N3' e la lunghezza della nervatura N1	0.056	0.000
Rapporto tra la lunghezza della nervatura N2 e la lunghezza della nervatura N1	0.884	0.033
Rapporto tra la lunghezza della nervatura N2' e la lunghezza della nervatura N1	0.889	0.046
Rapporto tra la distanza dal seno peziolare al seno inferiore destro OI e la lunghezza della nervatura N3	0.860	0.030
Rapporto tra la distanza dal seno peziolare al seno inferiore sinistro OI' e la lunghezza della nervatura N3'	0.893	0.019
Rapporto tra la distanza dal seno peziolare la lunghezza della nervatura N2'	0.750	0.085
Rapporto tra Lunghezza e larghezza della foglia	1.040	0.032
Prodotto di Lunghezza e larghezza della foglia	30186.580	4191.862
Rapporto tra la distanza dal seno la lunghezza della nervatura N2	0.741	0.074
Rapporto tra la lunghezza del picciolo OP e la lunghezza della nervatura N1	0.738	0.077

**Bibliografia (2)**

autori	anno	titolo	rivista	citazione
Basso M.,	1992	Contributo alla conoscenza del patrimonio genetico-viticolo toscano. Province di Pisa, Lucca e Massa Carrara.		Proceedings of "Germoplasma frutticolo, salvaguardia e valorizzazione delle risorse genetiche" meeting, Alghero (Italy), 21-25 September 1992, 505-512.
D'Onofrio C., Fausto C., Matarese F., Materazzi A., Scalabrelli G., Fiorani F., Poli L.,	2015	Genotyping of Grapevine Varieties from Garfagnana (Northern Tuscany): Evidence of a Historical Centre of Diversity	American Journal of Enology and Viticulture	Am. J. Enol. Vitic. 67: 120-126